

УДК 539.3: 517.958

## ПРИМЕНЕНИЕ СОБСТВЕННЫХ МОДУЛЕЙ И СОСТОЯНИЙ ДЛЯ ОЦЕНКИ ВОЗМОЖНОСТИ МАРТЕНСИТНЫХ ФАЗОВЫХ ПРЕВРАЩЕНИЙ

Б. Д. Аннин<sup>\*,\*\*</sup>, Н. И. Остросаблин<sup>\*</sup>, Р. И. Угрюмов<sup>\*,\*\*</sup>

<sup>\*</sup> Институт гидродинамики им. М. А. Лаврентьева СО РАН, 630090 Новосибирск, Россия

<sup>\*\*</sup> Новосибирский национальный исследовательский государственный университет,

630090 Новосибирск, Россия

E-mails: annin@hydro.nsc.ru, o.n.i@ngs.ru, riugryumov@mail.ru

С использованием понятия собственных модулей и собственных состояний из линейной теории упругости проведена оценка возможности фазовых переходов (мартенситных превращений) в сплавах с памятью формы. Для сплавов с кубической и гексагональной решетками приведены матрицы модулей упругости и коэффициентов податливости, записаны выражения для их собственных модулей и собственные состояния. Для кубической и гексагональной фаз удельная энергия деформации представлена в виде суммы шести независимых слагаемых, соответствующих шести ортогональным собственным состояниям. Показано, что в зависимости от соотношения собственных модулей существует шесть типов материалов (сплавов) с кубической и гексагональной симметрией. Сравниваются удельные энергии деформации в кубической и гексагональной фазах. Если в гексагональной фазе энергия деформации больше, чем в кубической, то сплав может стремиться вернуться в исходное состояние с меньшей энергией. Для сравнения энергий деформации в разных фазах можно также использовать формулы для тензоров, ближайших по евклидовой энергетической норме к кубическому и гексагональному тензорам. Проведено сравнение энергий при некоторых значениях констант упругости.

Ключевые слова: собственные модули и состояния, сплавы с памятью формы, модули упругости, коэффициенты податливости, кубическая и гексагональная решетки, удельная энергия деформации.

DOI: 10.15372/PMTF20210501

Памятью формы называется наблюдаемое для некоторых материалов полное или частичное восстановление первоначальных размера и формы образца при его нагреве до определенной температуры. Материалы, в которых проявляется память формы, называются материалами с памятью формы. Материалы с памятью формы известны начиная с середины XX в. и широко применяются в различных областях техники и медицины [1–3].

Фазовые превращения свойственны материалам с кристаллической решеткой, имеющей два состояния, одно из которых устойчиво при низких температурах, а другое — при высоких. Высокотемпературная фаза материала, обладающего таким свойством, называ-

---

Работа выполнена в рамках Программы фундаментальных исследований СО РАН (код проекта Ш.23.3.1) и при частичной финансовой поддержке Российского фонда фундаментальных исследований (код проекта 19-01-00511 А).

ется аустенитом, низкотемпературная — мартенситом, а переход между ними — мартенситным превращением. В процессе мартенситного превращения образуется новая кристаллическая структура, энергия которой отлична от энергии первоначальной структуры. Эта энергия зависит от температуры, и если энергия конечной структуры превышает энергию начальной, то происходит обратное превращение. Таким образом, в большинстве случаев мартенситное превращение является обратимым.

В данной работе предлагается применить собственные модули и состояния линейной теории упругости для сравнения удельных энергий деформации материала в разных фазах. В работе [4] утверждается, что, например, мартенситное превращение кобальта состоит в переходе гранецентрированной кубической решетки в гексагональную плотноупакованную. Это превращение полностью обратимо, но разные фазы должны иметь разную энергию. При этом плотность кобальта в разных фазах практически одинаковая. Кубическая решетка титана и сплавов титан — никель переходит в гексагональную, или ромбоэдрическую, или орторомбическую.

В последнее время собственные модули и состояния находят применение в теориях упругости, пластичности, наследственной упругости [5–7].

В линейной теории упругости свойства упругости материалов определяются взаимно обратными матрицами модулей упругости  $A$  и коэффициентов податливости  $a = A^{-1}$ . В общем случае матрицы  $A$  и  $a = A^{-1}$  упругих по Грину материалов содержат 21 независимый элемент  $A_{ij} = A_{ji}$ ,  $a_{ij} = a_{ji}$ ,  $i, j = \overline{1,6}$ . Постоянные  $A_{ij}$ ,  $a_{ij}$  можно считать безразмерными, если в обобщенном законе Гука

$$\sigma_i = A_{ij}\varepsilon_j, \quad \varepsilon_i = a_{ij}\sigma_j, \quad i, j = \overline{1,6}, \quad (1)$$

связывающем напряжения  $\sigma_i$  и деформации  $\varepsilon_j$ , напряжения  $\sigma_i$  и  $A_{ij}$  отнесены к некоторому характерному (эталонному) напряжению. В (1) и далее по повторяющимся индексам проводится суммирование. В декартовой прямоугольной системе координат  $x_i$ ,  $i = 1, 2, 3$  напряжениям  $\sigma_i$  и деформациям  $\varepsilon_j$  соответствуют симметричные тензоры второго ранга  $\sigma_{ij} = \sigma_{ji}$  и  $\varepsilon_{ij} = \varepsilon_{ji} = (\partial_i u_j + \partial_j u_i)/2$ . Здесь  $u_1, u_2, u_3$  — компоненты вектора смещения;  $\partial_i$  — производные по координате  $x_i$ . Матрицам  $A_{ij}$ ,  $a_{ij}$  соответствуют тензоры четвертого ранга модулей упругости  $A_{ijkl} = A_{jikl} = A_{klij}$  и коэффициентов податливости  $a_{ijkl} = a_{jikl} = a_{klij}$ . Переход от тензорных величин к векторным осуществляется по формулам

$$\begin{aligned} \sigma_{11} = \sigma_1, \quad \sigma_{22} = \sigma_2, \quad \sigma_{33} = \sigma_3, \\ \sqrt{2}\sigma_{23} = \sqrt{2}\sigma_{32} = \sigma_4, \quad \sqrt{2}\sigma_{13} = \sqrt{2}\sigma_{31} = \sigma_5, \quad \sqrt{2}\sigma_{12} = \sqrt{2}\sigma_{21} = \sigma_6. \end{aligned} \quad (2)$$

Симметричные невырожденные матрицы  $A = A'$ ,  $a = a'$  в (1) представляются в виде [5]

$$A = T\Lambda T', \quad a = A^{-1} = T\Lambda^{-1}T', \quad (3)$$

где  $T = [t_{ip}]$  — ортогональная матрица, т. е.  $T'T = E$ ;  $E$  — единичная матрица; штрих означает транспонирование матрицы;  $\Lambda = \text{diag}(\lambda_1, \lambda_2, \lambda_3, \lambda_4, \lambda_5, \lambda_6)$  ( $\lambda_i > 0$ ) — диагональная матрица. Собственные модули  $\lambda_i$ ,  $i = \overline{1,6}$  и собственные состояния  $t_{ip}$ ,  $i, p = \overline{1,6}$  являются собственными числами и собственными векторами матрицы  $A$  в (1) [5]. Столбцы  $t_{ip}$ ,  $p = \overline{1,6}$  ортогональной матрицы  $T = [t_{ip}]$  образуют ортонормированный базис в шестимерном пространстве напряжений  $\sigma_i$  (2) и деформаций  $\varepsilon_j$ , при этом

$$\sigma_i = t_{ip}\tilde{\sigma}_p, \quad \tilde{\sigma}_p = t_{ip}\sigma_i, \quad \varepsilon_j = t_{jq}\tilde{\varepsilon}_q, \quad \tilde{\varepsilon}_q = t_{jq}\varepsilon_j. \quad (4)$$

Если  $t_{ip} = \delta_{ip}$  ( $\delta_{ip}$  — единичная матрица), то из (4) следует, что напряжения  $\sigma_i = \delta_{ip}\tilde{\sigma}_p = \tilde{\sigma}_i$ ,  $\tilde{\sigma}_p = \delta_{ip}\sigma_i = \sigma_p$ ,  $i, p = \overline{1,6}$  являются инвариантами, проекциями  $\sigma_i$  на базис

$\delta_{i1}, \delta_{i2}, \dots, \delta_{i6}$  [8]. Базис  $t_{ip}$ ,  $p = \overline{1, 6}$  характеризует конкретный упругий материал, а базис  $\delta_{ip}$ ,  $p = \overline{1, 6}$  не связан с конкретным материалом и определяется внешней координатной системой  $x_i$ ,  $i = 1, 2, 3$ .

Закон Гука (1) с учетом (3), (4) записывается в матричном виде  $T'\sigma = \Lambda T'\varepsilon$  или в виде шести независимых инвариантных равенств

$$\begin{aligned} t_{i1}\sigma_i &= \lambda_1 t_{j1}\varepsilon_j, & t_{i2}\sigma_i &= \lambda_2 t_{j2}\varepsilon_j, & t_{i3}\sigma_i &= \lambda_3 t_{j3}\varepsilon_j, \\ t_{i4}\sigma_i &= \lambda_4 t_{j4}\varepsilon_j, & t_{i5}\sigma_i &= \lambda_5 t_{j5}\varepsilon_j, & t_{i6}\sigma_i &= \lambda_6 t_{j6}\varepsilon_j. \end{aligned} \quad (5)$$

В силу (5) удельная энергия деформации представляется в виде суммы шести независимых слагаемых

$$\begin{aligned} 2\Phi = \tilde{\sigma}_p \tilde{\varepsilon}_p &= (t_{ip}\sigma_i)(t_{jp}\varepsilon_j) = \lambda_1 (t_{j1}\varepsilon_j)^2 + \lambda_2 (t_{j2}\varepsilon_j)^2 + \\ &+ \lambda_3 (t_{j3}\varepsilon_j)^2 + \lambda_4 (t_{j4}\varepsilon_j)^2 + \lambda_5 (t_{j5}\varepsilon_j)^2 + \lambda_6 (t_{j6}\varepsilon_j)^2. \end{aligned} \quad (6)$$

Собственные модули  $\lambda_i$ ,  $i = \overline{1, 6}$  являются экстремальными значениями удельной энергии деформации (6) [9].

Допустим, что сплав с памятью формы имеет кубическую решетку, для которой матрица  $A_{ij}$  в главных осях симметрии записывается в виде

$$A_{ij} = \begin{bmatrix} A_{11} & A_{21} & A_{21} & 0 & 0 & 0 \\ A_{21} & A_{11} & A_{21} & 0 & 0 & 0 \\ A_{21} & A_{21} & A_{11} & 0 & 0 & 0 \\ 0 & 0 & 0 & A_{44} & 0 & 0 \\ 0 & 0 & 0 & 0 & A_{44} & 0 \\ 0 & 0 & 0 & 0 & 0 & A_{44} \end{bmatrix}. \quad (7)$$

Собственные модули  $\lambda_i$  для матрицы (7) равны

$$\lambda_1 = A_{11} + 2A_{21}, \quad \lambda_2 = \lambda_3 = A_{11} - A_{21}, \quad \lambda_4 = \lambda_5 = \lambda_6 = A_{44}, \quad (8)$$

а собственные состояния  $t_{ip}$  можно представить в виде [10]

$$t_{ip} = \begin{bmatrix} 1/\sqrt{3} & -1/\sqrt{6} & 1/\sqrt{2} & 0 & 0 & 0 \\ 1/\sqrt{3} & -1/\sqrt{6} & -1/\sqrt{2} & 0 & 0 & 0 \\ 1/\sqrt{3} & 2/\sqrt{6} & 0 & 0 & 0 & 0 \\ 0 & 0 & 0 & 1 & 0 & 0 \\ 0 & 0 & 0 & 0 & 1 & 0 \\ 0 & 0 & 0 & 0 & 0 & 1 \end{bmatrix}. \quad (9)$$

Из формул (8) можно выразить постоянные  $A_{ij}$  через собственные модули  $\lambda_i$ :

$$A_{11} = (\lambda_1 + 2\lambda_2)/3, \quad A_{21} = (\lambda_1 - \lambda_2)/3, \quad A_{44} = \lambda_4. \quad (10)$$

В силу второй формулы (3) из (10) получаем элементы  $a_{ij}$  обратной матрицы:

$$a_{11} = \frac{1}{3} \left( \frac{1}{\lambda_1} + \frac{2}{\lambda_2} \right) = \frac{2\lambda_1 + \lambda_2}{3\lambda_1\lambda_2}, \quad a_{21} = \frac{1}{3} \left( \frac{1}{\lambda_1} - \frac{1}{\lambda_2} \right) = \frac{\lambda_2 - \lambda_1}{3\lambda_1\lambda_2}, \quad a_{44} = \frac{1}{\lambda_4}. \quad (11)$$

Для конкретных значений  $A_{ij}$ , нумеруя собственные модули (8) в порядке убывания, получаем, что существует шесть типов материалов с кубической симметрией [11]. Величина  $A = A_{11} - A_{21} - A_{44} = \lambda_2 - \lambda_4$  характеризует отличие кубического кристалла от изотропной среды, для которой  $A = 0$ ,  $\lambda_2 = \lambda_4$ . Значение  $A = \lambda_2 - \lambda_4$  может быть больше нуля:  $A > 0$ , т. е.  $\lambda_2 > \lambda_4$ , и меньше нуля:  $A < 0$ , т. е.  $\lambda_2 < \lambda_4$ .

Существуют следующие типы материалов кубической симметрии (собственные значения  $\lambda_i$  пронумерованы в порядке убывания, в соответствии с этой нумерацией переставляются столбцы в матрице (9), числа в фигурных скобках означают кратность  $\lambda_i$ ) [10, 11]:

$$\text{I. } \{1, 2, 3\}: \lambda_1 > \lambda_2 = \lambda_3 > \lambda_4 = \lambda_5 = \lambda_6 \implies$$

$$A_{11} + 2A_{21} > A_{11} - A_{21} > A_{44}, \quad A > 0,$$

$$A_{ij} = (\lambda_1 - \lambda_4)t_{i1}t_{j1} + (\lambda_2 - \lambda_4)(t_{i2}t_{j2} + t_{i3}t_{j3}) + \lambda_4\delta_{ij}.$$

$$\text{II. } \{1, 3, 2\}: \lambda_1 > \lambda_2 = \lambda_3 = \lambda_4 > \lambda_5 = \lambda_6 \implies$$

$$A_{11} + 2A_{21} > A_{44} > A_{11} - A_{21}, \quad A < 0,$$

$$A_{ij} = (\lambda_1 - \lambda_2)t_{i1}t_{j1} + \lambda_2\delta_{ij} - (\lambda_2 - \lambda_5)(t_{i5}t_{j5} + t_{i6}t_{j6}).$$

$$\text{III. } \{2, 1, 3\}: \lambda_1 = \lambda_2 > \lambda_3 > \lambda_4 = \lambda_5 = \lambda_6 \implies$$

$$A_{11} - A_{21} > A_{11} + 2A_{21} > A_{44}, \quad A > 0,$$

$$A_{ij} = (\lambda_1 - \lambda_4)(t_{i1}t_{j1} + t_{i2}t_{j2}) + (\lambda_3 - \lambda_4)t_{i3}t_{j3} + \lambda_4\delta_{ij}. \quad (12)$$

$$\text{IV. } \{2, 3, 1\}: \lambda_1 = \lambda_2 > \lambda_3 = \lambda_4 = \lambda_5 > \lambda_6 \implies$$

$$A_{11} - A_{21} > A_{44} > A_{11} + 2A_{21}, \quad A > 0,$$

$$A_{ij} = (\lambda_1 - \lambda_3)(t_{i1}t_{j1} + t_{i2}t_{j2}) + \lambda_3\delta_{ij} - (\lambda_3 - \lambda_6)t_{i6}t_{j6}.$$

$$\text{V. } \{3, 1, 2\}: \lambda_1 = \lambda_2 = \lambda_3 > \lambda_4 > \lambda_5 = \lambda_6 \implies$$

$$A_{44} > A_{11} + 2A_{21} > A_{11} - A_{21}, \quad A < 0,$$

$$A_{ij} = \lambda_1\delta_{ij} - (\lambda_1 - \lambda_4)t_{i4}t_{j4} - (\lambda_1 - \lambda_5)(t_{i5}t_{j5} + t_{i6}t_{j6}).$$

$$\text{VI. } \{3, 2, 1\}: \lambda_1 = \lambda_2 = \lambda_3 > \lambda_4 = \lambda_5 > \lambda_6 \implies$$

$$A_{44} > A_{11} - A_{21} > A_{11} + 2A_{21}, \quad A < 0,$$

$$A_{ij} = \lambda_1\delta_{ij} - (\lambda_1 - \lambda_4)(t_{i4}t_{j4} + t_{i5}t_{j5}) - (\lambda_1 - \lambda_6)t_{i6}t_{j6}.$$

Из формул (12) следует, что возможны три типа кубических кристаллов, когда  $A > 0$ :  $\{1, 2, 3\}$ ,  $\{2, 1, 3\}$ ,  $\{2, 3, 1\}$ , и три типа, когда  $A < 0$ :  $\{1, 3, 2\}$ ,  $\{3, 1, 2\}$ ,  $\{3, 2, 1\}$ . Так как имеют место формулы [9]

$$a_{11} = 1/E_1, \quad a_{21} = \nu_{21}/E_1, \quad a_{44} = 1/(2G_{23}),$$

где  $E_1$  — модуль Юнга;  $\nu_{21}$  — коэффициент Пуассона (знак “—” перед коэффициентом опущен);  $G_{23}$  — модуль сдвига, то с учетом соотношений (11), (12) можно получить пределы изменения  $E_1$  и  $\nu_{21}$  для всех шести типов кубических кристаллов (см. (12)). Эти пределы исследовались, например, в работах [12–14], но без разделения кубических материалов на типы (12). Допустимые области значений  $\mu_i = 1/\lambda_i$  для типов I–VI (12) в зависимости от коэффициента Пуассона  $\nu = -a_{21}/a_{11}$  ( $-1 < \nu < 1/2$ ) приведены в работе [15].

В случае кубической решетки с матрицей модулей упругости (7) удельная энергия деформации (6) с учетом формул (8), (9) записывается в виде

$$\begin{aligned} 2\Phi &= \tilde{\sigma}_p \tilde{\varepsilon}_p = (t_{ip}\sigma_i)(t_{jp}\varepsilon_j) = \\ &= \lambda_1(t_{j1}\varepsilon_j)^2 + \lambda_2[(t_{j2}\varepsilon_j)^2 + (t_{j3}\varepsilon_j)^2] + \lambda_4[(t_{j4}\varepsilon_j)^2 + (t_{j5}\varepsilon_j)^2 + (t_{j6}\varepsilon_j)^2] = \\ &= \lambda_1(\varepsilon_1 + \varepsilon_2 + \varepsilon_3)^2/3 + \lambda_2[(\varepsilon_1 + \varepsilon_2 - 2\varepsilon_3)^2/6 + (\varepsilon_1 - \varepsilon_2)^2/2] + \lambda_4(\varepsilon_4^2 + \varepsilon_5^2 + \varepsilon_6^2). \quad (13) \end{aligned}$$

Матрица  $A_{ij}$  для гексагональной решетки с осью симметрии  $x_3$  имеет вид

$$A_{ij} = \begin{bmatrix} A_{11} & A_{21} & A_{31} & 0 & 0 & 0 \\ A_{21} & A_{11} & A_{31} & 0 & 0 & 0 \\ A_{31} & A_{31} & A_{33} & 0 & 0 & 0 \\ 0 & 0 & 0 & A_{44} & 0 & 0 \\ 0 & 0 & 0 & 0 & A_{44} & 0 \\ 0 & 0 & 0 & 0 & 0 & A_{11} - A_{21} \end{bmatrix}, \quad (14)$$

при этом собственные модули и состояния записываются следующим образом [10]:

$$\lambda_{1,2} = [A_{11} + A_{21} + A_{33} \pm \sqrt{(A_{11} + A_{21} - A_{33})^2 + 8A_{31}^2}]/2, \quad (15)$$

$$\lambda_3 = \lambda_6 = A_{11} - A_{21}, \quad \lambda_4 = \lambda_5 = A_{44};$$

$$t_{ip} = \begin{bmatrix} (1/\sqrt{2}) \cos \alpha & -(1/\sqrt{2}) \sin \alpha & 1/\sqrt{2} & 0 & 0 & 0 \\ (1/\sqrt{2}) \cos \alpha & -(1/\sqrt{2}) \sin \alpha & -1/\sqrt{2} & 0 & 0 & 0 \\ \sin \alpha & \cos \alpha & 0 & 0 & 0 & 0 \\ 0 & 0 & 0 & 1 & 0 & 0 \\ 0 & 0 & 0 & 0 & 1 & 0 \\ 0 & 0 & 0 & 0 & 0 & 1 \end{bmatrix}, \quad (16)$$

$$\operatorname{tg} 2\alpha = \frac{2\sqrt{2}A_{31}}{A_{11} + A_{21} - A_{33}}.$$

Полагая в (15), (16) модули  $\lambda_1, \lambda_2, \lambda_3, \lambda_4$  и угол  $\alpha$  независимыми параметрами, с использованием формул (3) получаем выражения для постоянных  $A_{ij}$ :

$$A_{11} = (\lambda_1 \cos^2 \alpha + \lambda_2 \sin^2 \alpha + \lambda_3)/2, \quad A_{21} = (\lambda_1 \cos^2 \alpha + \lambda_2 \sin^2 \alpha - \lambda_3)/2, \quad (17)$$

$$A_{31} = (1/\sqrt{2})(\lambda_1 - \lambda_2) \sin \alpha \cos \alpha, \quad A_{33} = \lambda_1 \sin^2 \alpha + \lambda_2 \cos^2 \alpha, \quad A_{44} = \lambda_4$$

и для постоянных  $a_{ij}$  обратной матрицы:

$$a_{11} = \frac{1}{2} \left( \frac{1}{\lambda_1} \cos^2 \alpha + \frac{1}{\lambda_2} \sin^2 \alpha + \frac{1}{\lambda_3} \right), \quad a_{21} = \frac{1}{2} \left( \frac{1}{\lambda_1} \cos^2 \alpha + \frac{1}{\lambda_2} \sin^2 \alpha - \frac{1}{\lambda_3} \right), \quad (18)$$

$$a_{31} = \frac{1}{\sqrt{2}} \left( \frac{1}{\lambda_1} - \frac{1}{\lambda_2} \right) \sin \alpha \cos \alpha, \quad a_{33} = \frac{1}{\lambda_1} \sin^2 \alpha + \frac{1}{\lambda_2} \cos^2 \alpha, \quad a_{44} = \frac{1}{\lambda_4}.$$

В зависимости от соотношений между собственными модулями (15) в случае нумерации их в порядке убывания и при соответствующей перестановке столбцов в матрице (16) существуют материалы с гексагональной симметрией следующих типов:  $\{1, 1, 2, 2\}$ ,  $\{1, 2, 1, 2\}$ ,  $\{1, 2, 2, 1\}$ ,  $\{2, 1, 1, 2\}$ ,  $\{2, 1, 2, 1\}$ ,  $\{2, 2, 1, 1\}$  [10, 11].

Полагая, что собственные модули  $\lambda_i > 0$ ,  $i = 1, 2, 3, 4$  и угол  $\alpha$  принимают произвольные значения, с использованием формул (17), (18) получаем допустимые пределы изменения постоянных  $A_{ij}$  и  $a_{ij}$ , а также коэффициентов Пуассона  $\nu_{21} = a_{21}/a_{11}$ ,  $\nu_{31} = a_{31}/a_{11}$  [9].

Запишем выражение для удельной энергии деформации (6) для собственных модулей (15) и состояний (16):

$$2\Phi = \tilde{\sigma}_p \tilde{\varepsilon}_p = (t_{ip} \sigma_i)(t_{jp} \varepsilon_j) = \lambda_1 (t_{j1} \varepsilon_j)^2 + \lambda_2 (t_{j2} \varepsilon_j)^2 + \lambda_3 [(t_{j3} \varepsilon_j)^2 + (t_{j6} \varepsilon_j)^2] +$$

$$+ \lambda_4 [(t_{j4} \varepsilon_j)^2 + (t_{j5} \varepsilon_j)^2] = \lambda_1 [(1/\sqrt{2}) \cos \alpha (\varepsilon_1 + \varepsilon_2) + \sin \alpha \varepsilon_3]^2 +$$

$$+ \lambda_2 [-(1/\sqrt{2}) \sin \alpha (\varepsilon_1 + \varepsilon_2) + \cos \alpha \varepsilon_3]^2 + \lambda_3 [(\varepsilon_1 - \varepsilon_2)^2/2 + \varepsilon_6^2] + \lambda_4 (\varepsilon_4^2 + \varepsilon_5^2). \quad (19)$$

Возникают следующие вопросы. Каким образом можно сравнить энергии (13), (19) и определить, какая из них больше? Как связаны элементы матриц (7), (14), если это матрицы модулей упругости одного материала в разных фазах? Возможно, нужно выбрать в качестве матрицы (14) матрицу гексагонального (трансверсально-изотропного) тензора, ближайшего по энергетической (евклидовой) норме к кубическому тензору (7) [16], или выбрать в качестве матрицы (7) матрицу кубического тензора, ближайшего к гексагональному тензору (14) [16]. Сравнение энергий (13), (19) по величине проводится при постоянных деформациях в предположении, что плотности материала в разных фазах различаются незначительно.

Запишем матрицу  $C_{ij}$  [16] гексагонального (трансверсально-изотропного) тензора, наиболее близкого к кубическому тензору (7):

$$C_{ij} = \begin{bmatrix} (3A_{11} + A_{21} + A_{44})/4 & C_{21} & A_{21} & 0 & 0 & 0 \\ (A_{11} + 3A_{21} - A_{44})/4 & C_{11} & A_{21} & 0 & 0 & 0 \\ A_{21} & A_{21} & A_{11} & 0 & 0 & 0 \\ 0 & 0 & 0 & A_{44} & 0 & 0 \\ 0 & 0 & 0 & 0 & A_{44} & 0 \\ 0 & 0 & 0 & 0 & 0 & (A_{11} - A_{21} + A_{44})/2 \end{bmatrix}. \quad (20)$$

Вычисляя для матрицы (20) по формулам (15) собственные модули, получаем

$$\begin{aligned} \lambda_1 &= A_{11} + 2A_{21}, & \lambda_2 &= A_{11} - A_{21}, \\ \lambda_3 &= \lambda_6 = (A_{11} - A_{21} + A_{44})/2 = (\lambda_2 + \lambda_4)/2, & \lambda_4 &= \lambda_5 = A_{44}. \end{aligned} \quad (21)$$

Формулы (21) и (8) для модулей кубического тензора (7) различаются только выражениями для модулей  $\lambda_3 = \lambda_6$ . Далее для матрицы (20) из (16) находим  $\operatorname{tg} 2\alpha = 2\sqrt{2}$ ,  $\sin \alpha = 1/\sqrt{3}$ ,  $\cos \alpha = 2/\sqrt{6}$ , при этих значениях собственные состояния (16) для матрицы (20) совпадают с собственными состояниями (9) для матрицы (7).

Матрица  $C_{ij}$  кубического тензора, наиболее близкого к гексагональному тензору (матрице) (14), имеет вид [16]

$$C_{ij} = \begin{bmatrix} (2A_{11} + A_{33})/3 & C_{21} & C_{21} & 0 & 0 & 0 \\ (A_{21} + 2A_{31})/3 & C_{11} & C_{21} & 0 & 0 & 0 \\ C_{21} & C_{21} & C_{11} & 0 & 0 & 0 \\ 0 & 0 & 0 & (A_{11} - A_{21} + 2A_{44})/3 & 0 & 0 \\ 0 & 0 & 0 & 0 & C_{44} & 0 \\ 0 & 0 & 0 & 0 & 0 & C_{44} \end{bmatrix}. \quad (22)$$

Для матрицы (22) вычисляем собственные модули (8):

$$\begin{aligned} \lambda_1 &= [2(A_{11} + A_{21} + 2A_{31}) + A_{33}]/3, \\ \lambda_2 &= \lambda_3 = [2(A_{11} - A_{31}) - A_{21} + A_{33}]/3, & \lambda_4 &= \lambda_5 = \lambda_6 = (A_{11} - A_{21} + 2A_{44})/3. \end{aligned} \quad (23)$$

Собственные состояния для (22), очевидно, имеют вид (9).

Запишем выражение для удельной энергии (19) с учетом (21) и (9):

$$\begin{aligned} 2\Phi &= \lambda_1(\varepsilon_1 + \varepsilon_2 + \varepsilon_3)^2/3 + \lambda_2(\varepsilon_1 + \varepsilon_2 - 2\varepsilon_3)^2/6 + \\ &+ (\lambda_2 + \lambda_4)[(\varepsilon_1 - \varepsilon_2)^2/2 + \varepsilon_6^2/2 + \lambda_4(\varepsilon_4^2 + \varepsilon_5^2)]. \end{aligned} \quad (24)$$

В (13), (24) модули  $\lambda_1, \lambda_2, \lambda_4$  одинаковые и выражаются по формулам (8), (21). Вычитая из (24) выражение (13), получаем

$$\begin{aligned} 2(\Phi^{(h)} - \Phi^{(c)}) &= (\lambda_2 - \lambda_4)[-(\varepsilon_1 - \varepsilon_2)^2/2 + \varepsilon_6^2]/2 = \\ &= A[-(\varepsilon_1 - \varepsilon_2)^2/2 + \varepsilon_6^2]/2 = A[-((\varepsilon_{11} - \varepsilon_{22})/2)^2 + \varepsilon_{21}^2]. \end{aligned} \quad (25)$$

Здесь и далее верхние индексы “(h)”, “(c)” соответствуют гексагональной и кубической симметриям. Знак разности  $2(\Phi^{(h)} - \Phi^{(c)})$  (25) зависит от знака величины  $A = \lambda_2 - \lambda_4 = A_{11} - A_{21} - A_{44}$  и соотношений между сдвиговыми деформациями  $(\varepsilon_{11} - \varepsilon_{22})/2$  и  $\varepsilon_{21}$  в плоскости изотропии. Если выражение (25) больше нуля, то гексагональная фаза с матрицей (20) модулей упругости имеет бóльшую удельную энергию (24), чем кубическая фаза с матрицей (7) и удельной энергией (13). Тогда при изменении температуры гексагональная фаза сплава с памятью формы может стремиться вернуться в кубическую фазу с меньшей удельной энергией деформации.

Рассмотрим значения констант для некоторых конкретных сплавов и кристаллов. Например, для кубических монокристаллов TiNi постоянные  $A_{ij}$  имеют следующие значения (в  $10^{11}$  Па) [13]:  $A_{11} = 1,645$ ,  $A_{21} = 1,335$ ,  $A_{44} = 0,66$ , при этом собственные модули (8) равны  $\lambda_1 = 4,315$ ,  $\lambda_2 = \lambda_3 = 0,31$ ,  $\lambda_4 = \lambda_5 = \lambda_6 = 0,66$ . Нумеруя их в порядке убывания, получаем, что монокристаллы TiNi соответствуют материалам типа  $\{1, 3, 2\}$  (см. (12)). Значение  $A = \lambda_2 - \lambda_4 = -0,35 < 0$  и разность (25) больше нуля, если  $\varepsilon_{21}^2 - ((\varepsilon_{11} - \varepsilon_{22})/2)^2 < 0$ . Последнее неравенство может иметь место в отсутствие сдвиговых деформаций  $\varepsilon_{21}$ .

Для кобальта Co, имеющего гексагональную кристаллическую решетку, постоянные  $A_{ij}$  имеют следующие значения (в  $10^{11}$  Па) [17]:  $A_{11} = 3,071$ ,  $A_{21} = 1,650$ ,  $A_{31} = 1,027$ ,  $A_{33} = 3,581$ ,  $A_{44} = 1,510$ . Для этих значений находим собственные модули (15):  $\lambda_1 = 5,603$ ,  $\lambda_2 = 2,699$ ,  $\lambda_3 = \lambda_6 = 1,421$ ,  $\lambda_4 = \lambda_5 = 1,510$ . В соответствии с классификацией [10, 11] этот материал является материалом типа  $\{1, 1, 2, 2\}$ . Собственные состояния определяются по формулам (16), при этом  $\text{tg } 2\alpha = 2,548$ ,  $\sin \alpha = 0,563$ ,  $\cos \alpha = 0,826$ .

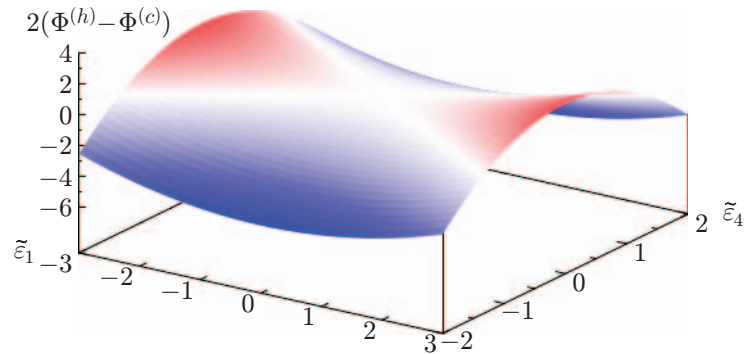
В работе [18] приведены три варианта значений  $A_{ij}$  для кубической фазы Co. Выберем среднее значение из этих трех вариантов (в  $10^{11}$  Па):  $A_{11} = 2,287$ ,  $A_{21} = 1,68$ ,  $A_{44} = 2,2$ , при этом собственные модули (8) равны  $\lambda_1 = 5,647$ ,  $\lambda_2 = \lambda_3 = 0,607$ ,  $\lambda_4 = \lambda_5 = \lambda_6 = 2,2$ , а выражения для собственных состояний имеют вид (9). Очевидно, что данный материал с кубической фазой является материалом типа  $\{1, 3, 2\}$ .

Запишем выражения для удельных энергий деформации для гексагональной и кубической фаз Co:

$$\begin{aligned} 2\Phi^{(h)} &= 5,603\tilde{\varepsilon}_1^2 + 2,699\tilde{\varepsilon}_2^2 + 1,421(\tilde{\varepsilon}_3^2 + \tilde{\varepsilon}_6^2) + 1,510(\tilde{\varepsilon}_4^2 + \tilde{\varepsilon}_5^2), \\ 2\Phi^{(c)} &= 5,647\tilde{\varepsilon}_1^2 + 0,607(\tilde{\varepsilon}_2^2 + \tilde{\varepsilon}_3^2) + 2,2(\tilde{\varepsilon}_4^2 + \tilde{\varepsilon}_5^2 + \tilde{\varepsilon}_6^2), \end{aligned} \quad (26)$$

где деформации  $\tilde{\varepsilon}_p = t_{jp}\varepsilon_j$ ,  $p = \overline{1, 6}$  для каждой фазы определяются с учетом собственных состояний (9) и (16). Соотношения между энергиями  $\Phi^{(h)}$  и  $\Phi^{(c)}$  в (26) зависят от соотношений между деформациями  $\tilde{\varepsilon}_p^{(h)}$  и  $\tilde{\varepsilon}_p^{(c)}$ , причем каждое слагаемое в выражениях (26) не зависит от других слагаемых. Однако в силу (9), (16) деформации  $\tilde{\varepsilon}_p^{(h)}$  и  $\tilde{\varepsilon}_p^{(c)}$  при  $p = 3, 4, 5, 6$  совпадают.

Вычислим также значения  $C_{ij}$  (22) и  $\lambda_i$  (23) кубического тензора, ближайшего к гексагональному тензору кристаллов Co:  $C_{11} = 3,241$ ,  $C_{21} = 1,235$ ,  $C_{44} = 1,480$ ;  $\lambda_1 = 5,710$ ,  $\lambda_2 = \lambda_3 = 2,006$ ,  $\lambda_4 = \lambda_5 = \lambda_6 = 1,480$ . Кубический тензор является тензором для материала типа  $\{1, 2, 3\}$ . Эти значения  $C_{ij}$ ,  $\lambda_i$  отличаются от приведенных выше экспериментальных значений, которые также имеют разброс [18].



Зависимость  $2(\Phi^{(h)} - \Phi^{(c)})$  (см. (27)) от  $\tilde{\varepsilon}_1$  и  $\tilde{\varepsilon}_4$  при  $\tilde{\varepsilon}_2 = \tilde{\varepsilon}_3 = \tilde{\varepsilon}_5 = \tilde{\varepsilon}_6 = 0$  для сплава CoNi

В работе [19] приведены значения  $A_{ij}$  для кубической и гексагональной фаз сплава кобальт — никель. Постоянные кубической фазы равны (в  $10^{11}$  Па)  $A_{11} = 2,387$ ,  $A_{21} = 1,553$ ,  $A_{44} = 2,630$ , постоянные гексагональной фазы —  $A_{11} = 3,260$ ,  $A_{21} = 1,606$ ,  $A_{31} = 0,954$ ,  $A_{33} = 3,584$ ,  $A_{44} = 1,480$ . Для этих значений находим собственные модули (8):  $\lambda_1 = 5,493$ ,  $\lambda_2 = \lambda_3 = 0,834$ ,  $\lambda_4 = \lambda_5 = \lambda_6 = 2,630$  и собственные состояния (9). Кубический тензор является тензором для материала типа  $\{1, 3, 2\}$ . Далее находим для гексагональной фазы собственные модули (15):  $\lambda_1 = 5,719$ ,  $\lambda_2 = 2,731$ ,  $\lambda_3 = \lambda_6 = 1,654$ ,  $\lambda_4 = \lambda_5 = 1,480$ . Согласно классификации [10, 11] этот материал является материалом типа  $\{1, 1, 2, 2\}$ . Собственные состояния определяются по формулам (16), при этом  $\text{tg } 2\alpha = 2,105$ ,  $\sin \alpha = 0,534$ ,  $\cos \alpha = 0,845$ .

Запишем выражения для удельных энергий деформации для гексагональной и кубической фаз CoNi:

$$\begin{aligned} 2\Phi^{(h)} &= 5,719\tilde{\varepsilon}_1^2 + 2,731\tilde{\varepsilon}_2^2 + 1,654(\tilde{\varepsilon}_3^2 + \tilde{\varepsilon}_6^2) + 1,480(\tilde{\varepsilon}_4^2 + \tilde{\varepsilon}_5^2), \\ 2\Phi^{(c)} &= 5,493\tilde{\varepsilon}_1^2 + 0,834(\tilde{\varepsilon}_2^2 + \tilde{\varepsilon}_3^2) + 2,630(\tilde{\varepsilon}_4^2 + \tilde{\varepsilon}_5^2 + \tilde{\varepsilon}_6^2), \end{aligned} \quad (27)$$

где деформации  $\tilde{\varepsilon}_p = t_{jp}\varepsilon_j$ ,  $p = \overline{1, 6}$  определяются с учетом собственных состояний (9) и (16). Соотношения между  $\Phi^{(h)}$  и  $\Phi^{(c)}$  в (27), так же как и в (26), зависят от соотношений между деформациями  $\tilde{\varepsilon}_p^{(h)}$  и  $\tilde{\varepsilon}_p^{(c)}$ . Поскольку каждое слагаемое в (26), (27) не зависит от других слагаемых, можно сравнивать не суммарные энергии, а отдельные слагаемые. Например, в (27) имеем  $5,719\tilde{\varepsilon}_1^2 > 5,493\tilde{\varepsilon}_1^2$  или  $2,731\tilde{\varepsilon}_2^2 > 0,834\tilde{\varepsilon}_2^2$ , если  $(\tilde{\varepsilon}_1^{(h)})^2 = (\tilde{\varepsilon}_1^{(c)})^2 = \tilde{\varepsilon}_1^2$  или  $(\tilde{\varepsilon}_2^{(h)})^2 = (\tilde{\varepsilon}_2^{(c)})^2 = \tilde{\varepsilon}_2^2$  и отсутствуют остальные деформации  $\tilde{\varepsilon}_p$ . В этом случае гексагональная фаза имеет большую удельную энергию и может стремиться вернуться в кубическую фазу с меньшей энергией. На рисунке приведена зависимость  $2(\Phi^{(h)} - \Phi^{(c)})$  (см. (27)) от  $\tilde{\varepsilon}_1$  и  $\tilde{\varepsilon}_4$  при  $\tilde{\varepsilon}_2 = \tilde{\varepsilon}_3 = \tilde{\varepsilon}_5 = \tilde{\varepsilon}_6 = 0$  для сплава CoNi.

Приведем значения постоянных  $A_{ij}$  для кубической фазы сплава  $\text{Ni}_3\text{Al}$  (в  $10^{11}$  Па) [20]:  $A_{11} = 2,3$ ,  $A_{21} = 1,5$ ,  $A_{44} = 2,62$ . Вычислим для этих значений собственные модули (8):  $\lambda_1 = 5,3$ ,  $\lambda_2 = \lambda_3 = 0,8$ ,  $\lambda_4 = \lambda_5 = \lambda_6 = 2,62$ . Таким образом, кристаллы  $\text{Ni}_3\text{Al}$  соответствуют материалу типа  $\{1, 3, 2\}$  (см. (12)).

Величина  $A = \lambda_2 - \lambda_4 = -1,82 < 0$  и разность (25) больше нуля, если  $\varepsilon_{21}^2 - ((\varepsilon_{11} - \varepsilon_{22})/2)^2 < 0$  и в качестве гексагональной матрицы  $C_{ij}$  выбрана матрица (20) с собственными модулями (21). Если разность (25) больше нуля, то гексагональная фаза сплава  $\text{Ni}_3\text{Al}$  может стремиться вернуться в кубическую фазу с меньшей удельной энергией деформации.

Таким образом, в данной работе понятие собственных модулей и состояний использовано для проведения качественной оценки возможности мартенситных превращений в сплавах с памятью формы. Рассмотрены случаи сплавов с кубической и гексагональной решетками, матрицы упругости которых соответствуют материалам шести типов. Приведены собственные модули, собственные состояния и удельные энергии деформации для этих случаев.

## ЛИТЕРАТУРА

1. **Лихачев В. А.** Эффект памяти формы / В. А. Лихачев, С. Л. Кузьмин, З. П. Каменцева. Л.: Изд-во Ленингр. ун-та, 1987.
2. **Ооцука К.** Сплавы с эффектом памяти формы / К. Ооцука, К. Симидзу, Ю. Судзуки и др. М.: Металлургия, 1990.
3. **Муслов С. А.** Сплавы с памятью формы: свойства, получение и применение в технике и медицине / С. А. Муслов, А. В. Шеляков, В. А. Андреев. М.: Мозартика, 2018.
4. **Лихачев В. А.** Эффект памяти формы // Соросовский образоват. журн. 1997. № 3. С. 107–114.
5. **Аннин Б. Д., Остросаблин Н. И.** Анизотропия упругих свойств материалов // ПМТФ. 2008. Т. 49, № 6. С. 131–151.
6. **Аннин Б. Д.** Модели упругопластического деформирования трансверсально-изотропных материалов // Сиб. журн. индустр. математики. 1999. Т. 2, № 2. С. 3–7.
7. **Аннин Б. Д.** Об одном классе определяющих соотношений линейной анизотропной наследственной теории упругости // Наследственная механика деформирования и разрушения твердых тел — научное наследие Ю. Н. Работнова: Тр. конф., Москва, 24–26 февр. 2014 г. М.: Изд-во Ин-та машиноведения РАН, 2014. С. 18–22.
8. **Остросаблин Н. И.** О функциональной связи двух симметричных тензоров второго ранга // ПМТФ. 2007. Т. 48, № 5. С. 134–137.
9. **Остросаблин Н. И.** Условия экстремальности постоянных упругости и главные оси анизотропии // ПМТФ. 2016. Т. 57, № 4. С. 192–210.
10. **Остросаблин Н. И.** Собственные модули упругости и состояния для материалов кристаллографических сингоний // Динамика сплошной среды: Сб. науч. тр. / АН СССР. Сиб. отд-ние. Ин-т гидродинамики. 1986. Вып. 75. С. 113–125.
11. **Остросаблин Н. И.** О классификации анизотропных материалов // Динамика сплошной среды: Сб. науч. тр. / АН СССР. Сиб. отд-ние. Ин-т гидродинамики. 1985. Вып. 71. С. 82–96.
12. **Norris A. N.** Poisson's ratio in cubic materials // Proc. Roy. Soc. London. Ser. A. 2006. V. 462, N 2075. P. 3385–3405.
13. **Муслов С. А., Лотков А. И., Арутюнов С. Д.** Экстремумы упругих свойств кубических кристаллов // Изв. вузов. Физика. 2019. Т. 62, № 8. С. 102–111.
14. **Городцов В. А., Лисовенко Д. С.** Ауксетики среди материалов с кубической анизотропией // Изв. РАН. Механика твердого тела. 2020. № 4. С. 7–24.
15. **Остросаблин Н. И.** Критерии предельности и модель неупругого деформирования анизотропных сред // ПМТФ. 2011. Т. 52, № 6. С. 165–176.
16. **Остросаблин Н. И.** Трансверсально-изотропный тензор, ближайший по евклидовой норме к заданному анизотропному тензору модулей упругости // ПМТФ. 2019. Т. 60, № 1. С. 124–141.

17. **Chadwick P., Seet L. T. C.** Wave propagation in a transversely isotropic heat-conducting elastic material // *Mathematika*. 1970. V. 17, N 2. P. 255–274.
18. **Gump J., Hua Xia, Chirita M., et al.** Elastic constants of face-centered-cubic cobalt // *J. Appl. Phys.* 1999. V. 86, N 11. P. 6005–6009.
19. **Weston W. F., Granato A. V.** Cubic and hexagonal single-crystal elastic constants of a cobalt-nickel alloy // *Phys. Rev. B*. 1975. V. 12, N 12. P. 5355–5362.
20. **Jamal M., Asadabadi S. J., Ahmad J., Aliabad H. A. R.** Elastic constants of cubic crystals // *Comput. Materials Sci.* 2014. V. 95. P. 592–599.

*Поступила в редакцию 15/XII 2020 г.,  
после доработки — 22/I 2021 г.  
Принята к публикации 25/I 2021 г.*

---